

3CaO · Al₂O₃의 수화반응에 미치는 글루콘산 나트륨의 영향(Ⅱ) 초기 수화 거동

김창은 · 이승현

연세대학교 공과대학 요업공학과

(1986년 6월 30일 접수)

Effect of Sodium Gluconate on the Hydration of Tricalcium Aluminate(Ⅱ) Early Hydration Behavior

Chang-Eun Kim and Seung-Heung Lee

Department of Ceramic Engineering, Yonsei University

(Received June 30, 1986)

ABSTRACT

The hydration of C₃A and C₃A-CaSO₄·2H₂O was investigated with varying concentration (0.1 – 1.0%) of sodium gluconate solution.

Sodium gluconate accelerates cation dissolution from C₃A for the first several minutes but depresses the rate of heat evolution in the course of C₃A hydration. The hydration of C₃A in the presence of sodium gluconate was modified such that the formation of the intermediate hydrate, C₄AH_x crystal was much reduced and most of the product became amorphous. The retardation of C₃A-CaSO₄·2H₂O hydration in the presence of sodium gluconate was controlled by the competitive adsorption between gluconate anion and SO₄²⁻ onto C₃A surfaces.

I. 서 론

3CaO·Al₂O₃, (이하 C₃A)의 수화에 대하여 계통적으로 분류한 것은 1960년의 제 4회 시멘트 화학 국제 심포지움(Washinton)에서의 Jones의 보고¹⁾가 있다. 그후 1968년 제 5회 심포지움(Tokyo)에서 Schwiete, Ludwig 등에 의해 상세히 보고되었다. 지금까지 연구된^{2~5)} C₃A의 수화특징은 입자표면에 4CaO·Al₂O₃·13H₂O(이하 C₄AH₁₃)와 2CaO·Al₂O₃·8H₂O(이하 C₂AH₈)가 급격히 생성되며, 이러한 수화물은 hexagonal 형태이고 cubic 형태인 3CaO·Al₂O₃·6H₂O(이하 C₃AH₆)에 비해 준안정한 상태이므로 결국에는 C₃AH₆로 전환한다. 이러한 수화과정은 급격히 진행되어 20

분정도면 거의 반정도가 수화된다. 그러나 그다음의 수화 과정은 미반응 C₃A를 둘러싼 hexagonal 형태의 수화물을 통한 물의 확산이 반응율속단계이므로 수화반응은 완만히 진행된다. 그러나 hexagonal 수화물이 cubic 수화물로 전환되면, 미수화 C₃A 표면을 둘러싼 준안정한 수화물이 파괴되어 수화반응은 다시 가속된다. Stein⁶⁾은 C₃A가 수화될 때 C₃AH₆를 첨가하면 수화가 촉진된다고 보고하였다. 이것은 C₃AH₆가 hexagonal 수화물에서 cubic 수화물로 전환될 때에 해으로 작용하기 때문이라고 설명하였다.

석고가 존재할 때의 응결 지연기구에 대해서는 Skalny와 Young⁷⁾ 등은 colloid 상 ettringite 생성에 의한 것으로 보고하였고, Corstanje⁸⁾ 등은 SO₄²⁻ 이온

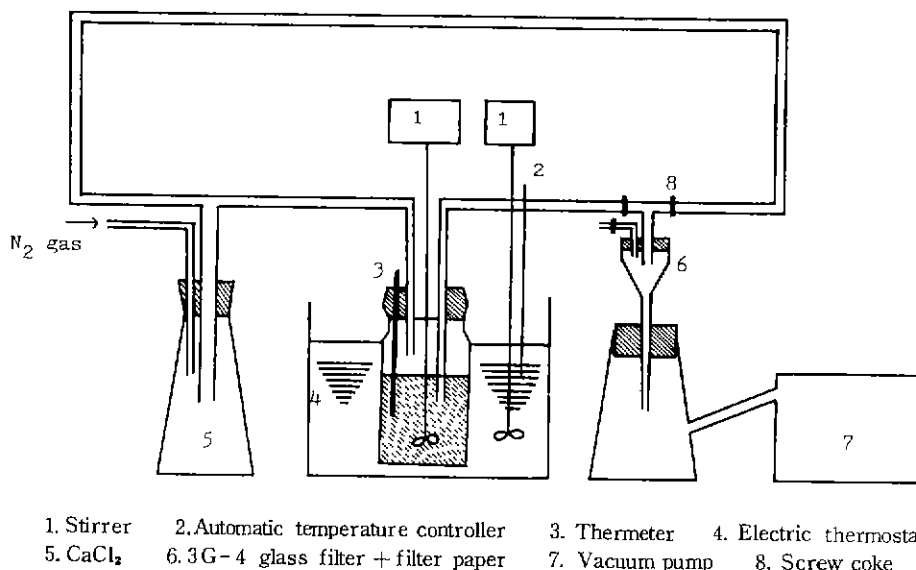


Fig. 1. Experimental apparatus.

이 아니라 표면에 무정형의 $\text{Al}(\text{OH})_3$ 젤이 침강하는 것으로 설명하였다.

또한 유기혼화제 첨가시 C_3A 의 수화에 대한 연구는 Young⁹⁾ 등을 중심으로 연구가 수행되었다. Young은 혼화제 첨가시 C_3A 의 수화 지연 효과는 hexagonal 수화물에서 cubic 수화물로의 전이를 방해하는 것으로 설명하였고, Dosch¹⁰⁾는 C_4AH_{13} 에 여러가지 유기화합물을 intercalation 시켜 C_4AH_{13} 과 유기화합물이 interlamellar compound를 형성하여 C_3AH_6 에의 전이를 막 있다고 설명하였다. 그러나 명확한 수화지연 기구에 대해서 아직껏 불명확한 점이 많다.

본 실험에서는 전보¹¹⁾에 이어 유기혼화제로서 옥시칼본산염계통인 sodium gluconate(이하 SG라 약함)를 첨가하여 C_3A 및 C_4A 에 석고 첨가에 따른 초기 수화반응에 대한 영향을 고찰하였다.

II. 실험

(1) 출발물질

C_3A 는 전보¹¹⁾와 동일한 방법으로 합성한 후 분쇄하였으며, $\text{CaSO}_4 \cdot 2\text{H}_2\text{O}$ (일본 Hayashi Chemical Co.)는 일급시약을 사용하였고 sodium gluconate는 일본 Junsei Chemical Co.의 일급시약을 사용하였다.

(2) 실험방법

C_3A 가 SG존재下에서 수화할 때 수용액 중에 C_3A 로부터 용출되는 이온의 양을 알아보기 위해서 용액분석

실험을 하였다. 실험은 SG용액 100 ml에 2 g의 C_3A 를 분산시켰을 때의 수용액 중에 존재하는 칼슘이온과 알루미늄이온의 양을 조사하기 위해 Fig. 1과 같은 장치를 사용하였다. 분산용액은 항온조에서 25°C로 유지하고 탄산화를 방지하기 위해 질소가스를 흘려주면서 계속 교반하였다. 혼탁액은 10 분간 교반후 3G-4 glass filter에서 No. 5 C 여과지를 사용하여 감압여과한 후 여액에 대해서 pH를 측정후 원자흡광 분석으로 칼슘이온과 알루미늄이온의 양을 정량하였으며 각각을 CaO 와 Al_2O_3 의 양으로 환산하였다.

전보¹¹⁾의 흡착량 실험과 동일한 조건으로 수화반응 특성을 규명하기 위해서 Multi Purpose Calorimeter(Tokyo Rico MPC-113)로 수화발열속도를 측정하였다.

SG농도에 따른 초기 수화생성물의 차이점을 알아보기 위하여 흡착량 실험과 동일한 조건으로 수화 시작부터 시간에 따른 X선회절분석을 하였고, $\text{CaSO}_4 \cdot 2\text{H}_2\text{O}$ 를 첨가하였을 때에도 같은 방법으로 분석하였으며 $\text{CaSO}_4 \cdot 2\text{H}_2\text{O}$ 의 양은 C_3A 에 대하여 50 wt %로 하였다. 또 10분후의 시료에 대하여 열분석을 하였다.

III. 결과 및 고찰

Fig. 2는 SG가 첨가되었을 때 나타나는 초기 30분 까지의 수화발열속도의 변화를 나타낸 것이다. SG를

첨가한 것은 첨가하지 않은 것과 비교해서 총발열량이 감소하고 있다. 이것은 전보¹¹⁾에서 언급했듯이 gluconate 음이온이 C₃A 입자에 축착하면서 수화반응이 일어 날수있는 자리수를 감소시켜 수화지연 효과가 나타나는 것으로 볼수 있다. 또한 SG농도 1.0% 일때가 0.3% 일때보다도 총발열량이 크다.

Skalny와 Tadros¹²⁾ 등에 의하면 C₃A는 물속에서 Ca²⁺와 Al³⁺ 이온을 용출시키면서 수화하는데 Ca²⁺/Al³⁺ 률비가 일정하지 않고 고체 표면으로 부터 물속으로 향할수록 커지는 incongruent dissolution을 한다고 보고하였다.

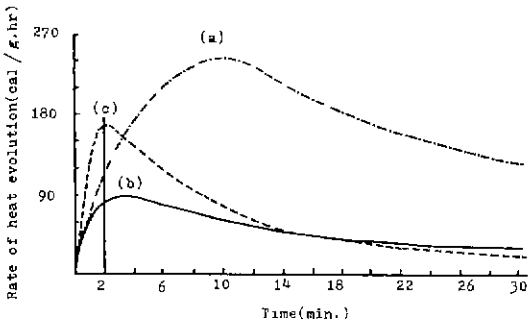


Fig. 2. Influence of SG solution on C₃A hydration
(a) 0% SG, (b) 0.3% SG, and (c) 1.0% SG solution.

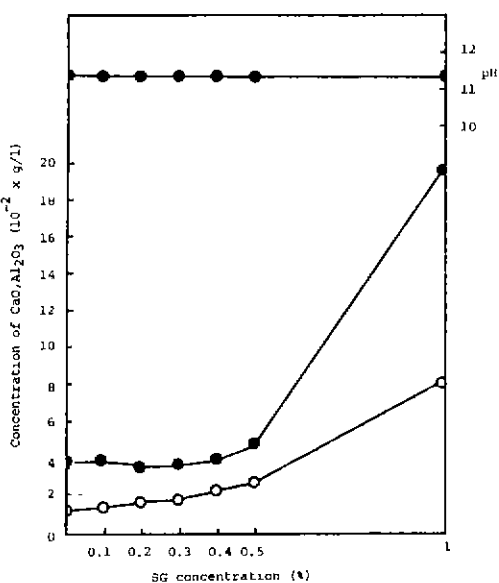


Fig. 3. The concentration of CaO, Al₂O₃ in aqueous phase C₃A-SG-H₂O system at 25°C.

SG농도 1.0%의 경우 정점이 앞당겨 가는 이유는 액상에서 gluconate 음이온이 Ca²⁺와 Al³⁺이온의 소비를 촉진하기 때문이라 볼수 있다. 이러한 것을 알아보기위해 용액분석 실험을 하였다.

Fig. 3은 수화 10분후의 액상조성을 나타낸 것으로 SG농도가 0.4%까지는 이온 농도의 변화가 거의 없지만 그 이상의 농도에서는 증가한다. 즉 SG 농도가 1.0% 일때가 0.3% 일때 보다도 용해열이 크기 때문에 수화발열속도 곡선의 정점이 앞당겨지는 것으로 볼수 있다. 또한 수화 개시 15분까지 SG 1.0%가 0.3%보다 총발열량이 큰 이유는 SG 1.0% 첨가시 X선회절분석 결과(Fig. 6)에 나타난 초기 수화물 C₄AH_x 때문이라 생각된다. 이것은 C₃A 표면에서 분해 용해가 촉진되는 과정에서 생긴 수화물이라 볼수 있다. 그리고 pH가 일정한 것으로부터 C₃A로 부터 용출된 양이온이 액상에서 gluconate 음이온과 화합물¹³⁾을 만드는 것으로 생각된다.

Fig. 4는 C₃A에 CaSO₄·2H₂O를 첨가하였을 때의 수화발열속도 곡선이다. 우선 SG가 추가되지 않은 경우의 발열속도 및 총 발열량이 Fig. 2와 비교해서 현저히 줄어든 것을 볼수 있다. 이것은 C₃A 입자 표면이 양의 하전을 띠고 있을때 SO₄²⁻ 이온이 흡착하면서 용출 자리수를 감소시키고 불투성의 ettringite 피막을 형성하기 때문이라고 생각된다. 그러므로 SG 가 첨가되면 gluconate 음이온이 ettringite의 생성반응을 방해한다고 생각할수 있고, 이러한 것은 X선회절분석 결과(Fig. 8,9,10)와 열분석 결과(Fig. 11)와 잘 일치한다. 즉 SG농도 0.3%의 경우는 무첨가와 비교해서 gluconate 음이온이 석고에 흡착하여 C₃A와 석고와의 반응을 억제하므로서 ettringite 생성을 저지한다. 그러므로 C₃A 가 H₂O와의 반응이 용이하므로 SG 0.3%일때가 SG 0% 일때 보다 수화발열속도가 크다. 그러나 SG 1.0%는 gluconate 음이온이

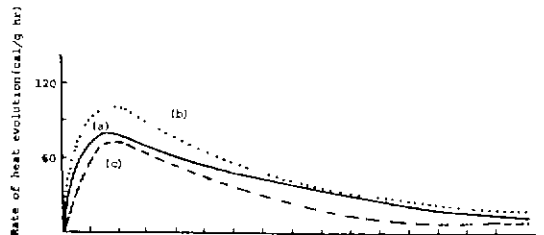


Fig. 4. Influence of SG solution on C₃A+gypsum hydration (a) 0% SG, (b) 0.3% SG, (c) 1.0% SG solution.

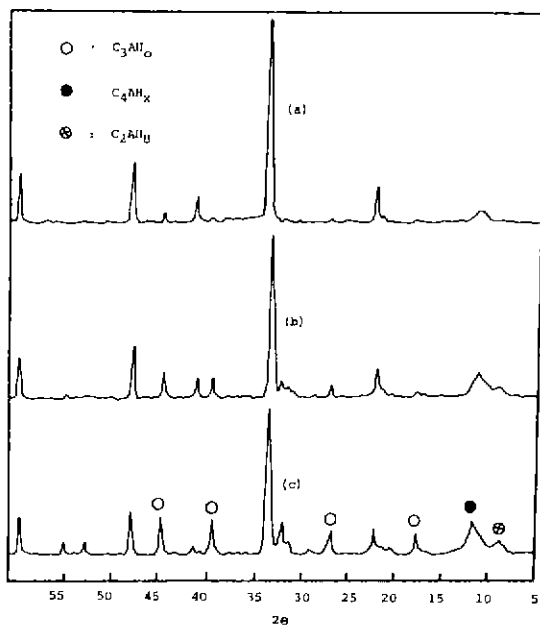


Fig. 5. XRD patterns of C_3A paste mixed with water. Scan initiated (a) 2 min., (b) 10 min., and (c) 18 min. after hydration.

C_3A 및 석고에 흡착하여 C_3A 와 석고, C_3A 와 H_2O 의 반응을 억제하므로서 무침가 일때 보다도 수화발열속도가 적다.

C_3A -SG- H_2O 계의 시간에 따른 수화도를 준정량적으로 알아 보기 위해서 우선 C_3A - H_2O 계의 시간에 따른 X선 회절분석 (Fig. 5)에서 C_3A 의 주회절선의 하나인 $33.2^\circ(2\theta)$ 의 강도를 I_0 이라하고 수화하기 전의 같은 회절선의 강도를 I_1 로 할때 $I_0 - I_1/I_0$ 의 값을 반응한 C_3A 의 양으로 보고 수화도를 구하여 보았다. Fig. 5 (b)에 대해서 그 값을 계산하면 약 30% 이상의 C_3A 가 반응했음을 알수 있다. 한편 $11^\circ(2\theta)$ 부근에서 새로 생긴 중간 수화물 C_4AH_x 의 양이 C_3A 의 반응량을 설명하기에 비교적 적으므로 결정성을 갖추지 못한 무정형 수화물의 존재를 생각할 수 있다.

SG농도가 수화발열속도곡선에 변화를 초래하는 이유를 찾기위해서 시간별로 X선회절분석을 하였다. Fig. 6은 SG농도 1.0%의 경우로 특징적인 것은 $d = 9.3 \text{ \AA}$ 에서 나타나는 회절선이다. 이것은 Fig. 5와 비교해서 저각도로 이동해 있는데 이것은 hexagonal결정, C_4AH_x 의 basal spacing이 커진것으로 생각할수 있다. $x=19$ 일때 $d = 10.7 \text{ \AA}$, $x=13$ 일때 $d=8.2$

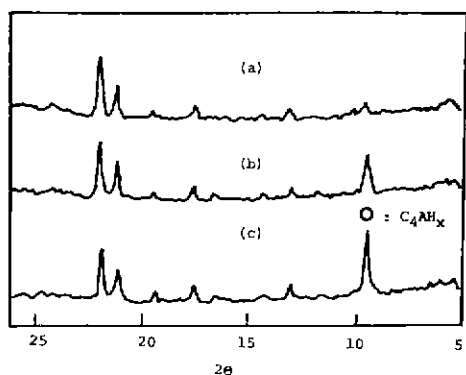


Fig. 6. XRD patterns of C_3A paste mixed 1.0 % SG solution Scan initiated (a) 2min., (b) 10min., and (c) 18min. after hydration.

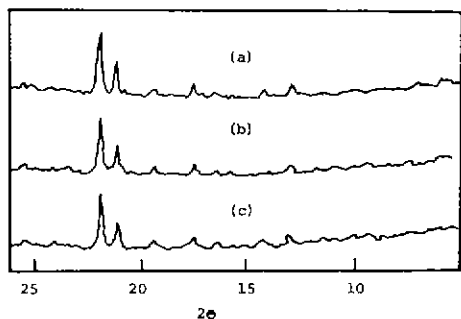


Fig. 7. XRD patterns of C_3A paste mixed with 0.3 % SG solution. Scan initiated (a) 2 min., (b) 10 min., and (c) 18 min. after hydration.

\AA 임을 고려해 볼때 x 값이 13~19사이의 hexagonal 수화물로 생각된다. 이것은 gluconate 음이온이 충전으로 intercalation 반응한 것으로 보기는 힘들다. 그 이유는 gluconate 음이온의 가장 짧은쪽 길이가 4.2 \AA 이상이기 때문이다. SG 농도가 0.3%의 경우는 위에서 나타났던 퍼크가 보이지 않는다.

이것으로 부터 수화발열속도 측정에서 나타난 발열량의 증가는 SG 1.0% 첨가시 분해 용해가 촉진되면서 생긴 C_4AH_x 와 관련이 있음을 알수 있다.

$CaSO_4 \cdot 2H_2O$ 가 첨가되었을 때의 시간별 X선회절분석결과는 Fig. 8과 같은데, SG 0.3%, 1.0%의 경우 (Fig. 9, Fig. 10)와 비교하면 수화발열속도 측정에서 논의 했던 ettringite의 형성 정도를 비교할수 있다. (Fig. 7)

Fig. 11에서 보면 110°C 부근의 ettringite, 150°C 부

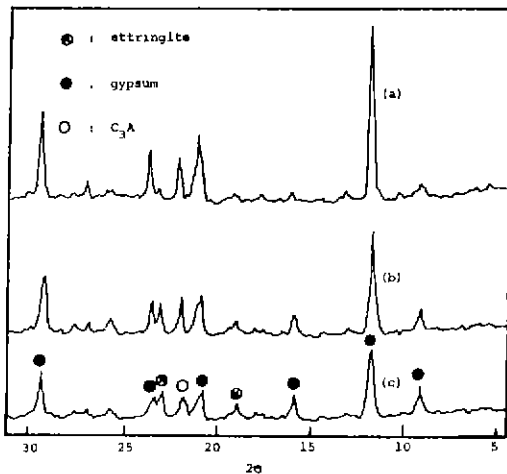


Fig. 8. XRD patterns of C₃A + gypsum paste mixed with water. Scan initiated (a) 2 min., (b) 10 min., and (c) 18 min. after hydration.

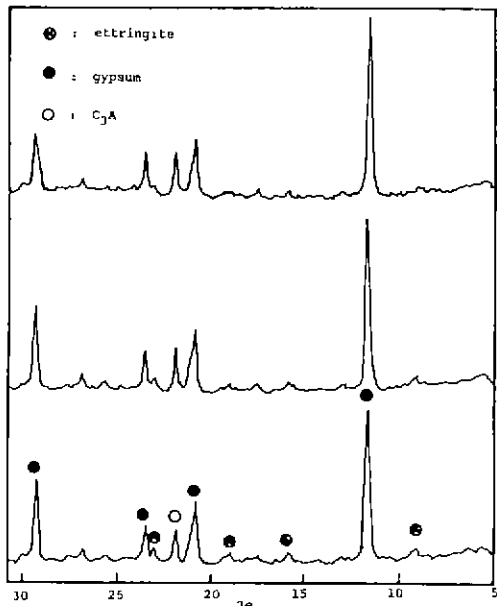


Fig. 9. XRD patterns of C₃A + gypsum paste mixed with 0.3% SG solution. Scan initiated (a) 2 min., (b) 10 min., and (c) 18 min. after hydration.

근의 CaSO₄ · 2H₂O, 280°C 부근의 mono sulfate (C₃A · CaSO₄ · 12H₂O)로 부터의 탈수 피크가 있고 680°C 부근의 피크는 SG의 신화 피크이다. 동시에 얻어진 TG 결과로 부터 SO₄⁻² 이온과 gluconate 음이온의 경쟁

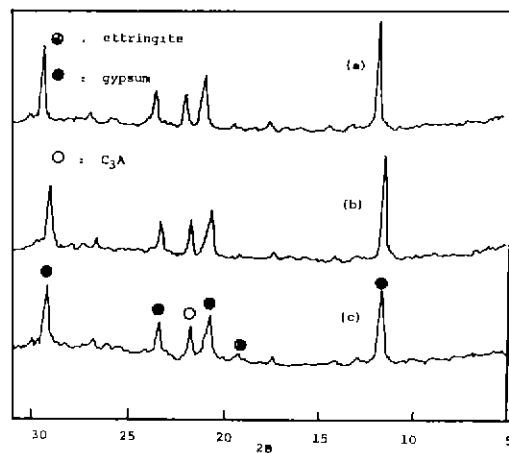


Fig. 10. XRD patterns of C₃A + gypsum paste mixed with 1.0% SG solution. Scan initiated (a) 2 min., (b) 10 min., (c) 18 min. after hydration.

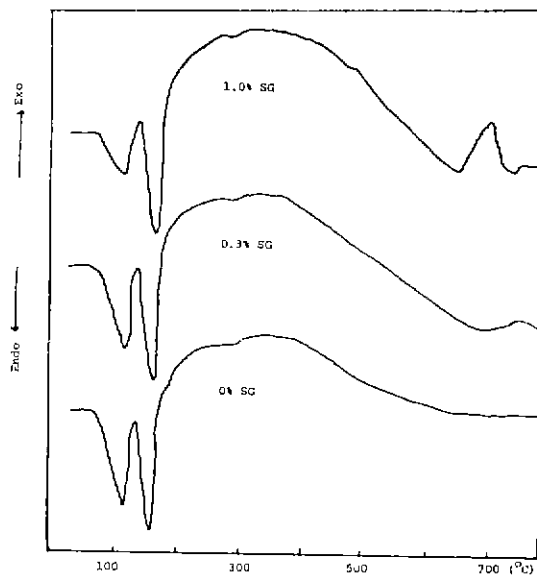


Fig. 11 DTA curves of C₃A + gypsum hydrates filtered and dried after adsorption of SG

흡착과정에서 형성된 ettringite 양을 계산한 결과 SG 0%에 12%, 0.3%에서 11%, 1.0%에서 7% 이었다.

IV. 결 론

C₃A 및 C₃A · CaSO₄ · 2H₂O의 초기 수화에 미치는

SG의 영향을 실현한 결과 다음과 같은 결론을 얻었다.

1. SG는 C_3A 와 반응성이 커서 1.0%의 고농도에서는 짧은 시간 동안에 양이온의 용출을 촉진시키지만 전체적으로는 C_3A 의 수화를 저연시킨다.
2. SG가 첨가되면 C_3A 는 수화하는 과정에서 hexagonal 결정형의 중간 수화물인 C_4AH_x 로 되는 양이 무첨가의 경우와 비교해서 줄어들고 무정형으로 된다.
3. $CaSO_4 \cdot 2H_2O$ 가 공존할 때 SG 효과는 gluconate 음이온과 SO_4^{2-} 이온의 경쟁 흡착 결과로 수화지연 효과가 나타나며 0.3% SG에서는 SO_4^{2-} 효과가 크고 1.0%의 SG에서는 gluconate 음이온의 효과가 크다.

REFERENCES

1. F.E. Jones, "The System $CaO \cdot Al_2O_3 \cdot H_2O$ at 25°C", Proc. 4th Intern. Symp. Chemistry of Cements, Washington, 1960, Vol. I, 204-29.
2. H.E. Schwiete and U. Ludig, "Hydration of Tricalcium Aluminate", Proc. 5th Intern. Symp. Chemistry of Cements, Tokyo, 1968, Vol. II, 37-67.
3. R.F. Feldman and V.S. Ramachandran, "Character of Hydration of $3CaO \cdot Al_2O_3$ ", *J. Amer. Ceram. Soc.*, **59**(5) 268-73 (1966).
4. S.N. Ghosh, Advances in Cement Technology, 311-34. Pergamon Press (1981).
5. E. Breval, "Gas Phase and Liquid Phase Hydration of C_3A ", *Cem. Concr. Res.*, **7**(3) 297-304 (1977).
6. H.N. Stein, "Mechanism of Hydration of $3CaO \cdot Al_2O_3$ ", *J. Appl. Chem.*, **13**(5) 228-32 (1963).
7. J. Skalny and J.F. Young, "Mechanisms of Portland Cement Hydration", Proc. 7th Intern. Congr. Chemistry of Cements, Paris, Vol. I, 3-15 (1980).
8. W.A. Corstanje, H.N. Stein and J.M. Stevels, "Hydration Reactions in Pastes $C_3S \cdot C_3A \cdot CaSO_4 \cdot 2H_2O \cdot H_2O$ at 25°C", *Cem. Concr. Res.*, **3**(6) 791-806 (1973).
9. J.F. Young, "Effect of Organic Compounds on the Interconversions of Calcium Aluminate Hydrates: Hydration of Tricalcium Aluminate", *J. Amer. Ceram. Soc.*, **53**(2) 65-69 (1970).
10. W. Dosch, "Interlamellar Reactions of Tetracalcium Aluminate Hydrates with Water and Organic Compounds", Proc. 15th Nat. Conf. on Clay and Clay Mine., 273-92 (1966).
11. C.E. Kim, S.H. Lee and J.H. Choy, "Effect of Sodium Gluconate on the Hydration of $3CaO \cdot Al_2O_3$ (I)", *J. Kor. Ceram. Soc.*, **23**(2) 38-42 (1986).
12. J. Skalny and M.E. Tadros, "Retardation of Tricalcium Aluminate Hydration by Sulfates", *J. Amer. Ceram. Soc.*, **60**(3) 174-75 (1977).
13. 笠井順一, 鈴木尚光, "焼セメントの水和におよぼすケトカルボン酸類の作用", 日本化學會誌 No. 9, 1690-1696 (1973).